

## การควบคุมเสียงชนิดแอกทีฟที่ใช้การหาเอกลักษณ์แบบออนไลน์และออฟไลน์

### Active Noise Control Using On-line and Off-line

#### Secondary Path Identifications

อนุสรณ์ เพชรสินจร และ สุวัฒน์ กุลธนปรีดา

Anusorn Phetsinchorn and Suwat Kuntanapreeda

คณะวิศวกรรมศาสตร์ มหาวิทยาลัยเทคโนโลยีพระจอมเกล้าพระนครเหนือ กรุงเทพมหานคร

#### บทคัดย่อ

งานวิจัยนี้ศึกษาเปรียบเทียบความสามารถของการลดระดับเสียงรบกวนแบบมิตติเดียวในทอระหว่างวิธี On- และ Off-Line Secondary Path โดยมีรูปแบบของการควบคุมเป็นแบบป้อนไปข้างหน้าและตัวควบคุมเป็นแบบ FIR Filter ที่ใช้กฎการปรับตัวเองแบบ FXLMS ชุดทดลองที่ใช้ในงานวิจัยนี้ประกอบด้วย 4 ส่วนหลักคือ ชุดท่อลำโพงคู่หนึ่งพร้อมตัวขยายกำลังแบบสเตอริโอ ไมโครโฟนสองตัวและชุดประมวลผล DSP ผลการลดระดับเสียงกับชุดทดลองปรากฏว่าการควบคุมที่ใช้วิธีปรับส่วนของ Secondary Path แบบ On-Line นั้น สามารถลดระดับเสียงรบกวนได้ดีกว่าและเร็วกว่าวิธีปรับส่วนของ Secondary Path แบบ Off-Line และเมื่อทดลองให้ส่วนของ Secondary Path ของชุดทดลองมีการเปลี่ยนแปลง การควบคุมโดยวิธี On-Line Secondary Path ก็ยังสามารถลดระดับเสียงรบกวนได้ดีกว่า โดยเฉพาะในกรณีที่ใช้ค่าลำดับ (Order) ของตัวควบคุมที่ไม่สูงมากนัก

คำสำคัญ : การควบคุมเสียง, ออนไลน์

#### Abstract

The performances of single channel active noise control (ANC) using on- and off-line secondary path identification techniques were studied. The control architecture is feedforward. The controllers are adaptive FIR filters using the FXLMS adaptation rule. The experimental apparatus contains four main parts: a duct set, a pair of loudspeakers with a stereo power amplifier, two microphones and a DSP processing unit. The results show that the ANC using the on-line secondary path identification technique is able to reduce the noise level better and faster than the off-line. Moreover, when the secondary path is

changed, the ANC with the on-line technique performs better than the off-line, especially when the order of the controller is low.

**Keywords :** ANC, Active Noise Control, FXLMS, On-Line Secondary Path

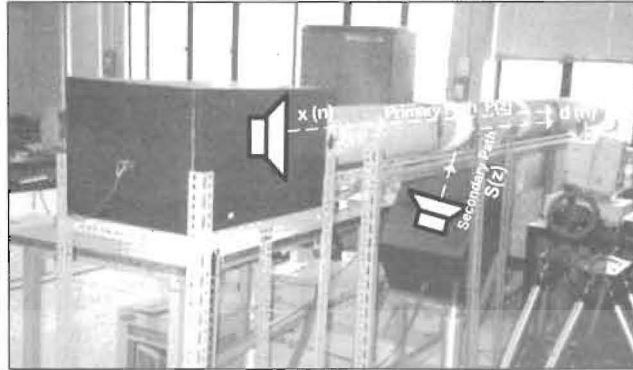
## 1. บทนำ

ปัญหามลพิษทางเสียงนั้นเกิดขึ้นพร้อม ๆ กับความเจริญก้าวหน้าทางด้านวิทยาศาสตร์และเทคโนโลยี การก่อสร้างอาคารโดยอาศัยเครื่องมือกลขนาดใหญ่ การนำเครื่องจักรมาใช้งานในโรงงานอุตสาหกรรมหรือแม้แต่การใช้งานพาหนะในปัจจุบันก็ล้วนแต่ก่อให้เกิดมลพิษทางเสียงขึ้นทั้งสิ้น ซึ่งการที่จะลดระดับเสียงด้วยวิธีแบบพาสซีฟ (Passive) [1-2] เช่น การใช้วัสดุดูดซับเสียงมาบุผนังนั้น สามารถลดระดับของเสียงได้ดีในการทำงานย่านความถี่สูงแต่มีประสิทธิภาพการทำงานต่ำในย่านความถี่ต่ำ ในขณะที่การควบคุมแบบแอคทีฟ (Active) [3] ใช้งานได้ดีในย่านความถี่ต่ำ

ในงานวิจัยนี้ จะศึกษาออกแบบและสร้างตัวควบคุมเพื่อลดระดับเสียงแบบมิตติเดียวในท่อแบบป้อนไปข้างหน้า (Feedforward Control) โดยใช้ตัวควบคุมแบบ FIR โดยใช้กฎการปรับตัวของแบบ FXLMS โดยใช้วิธี On-Line Secondary Path และนำผลลัพธ์ที่ได้นำมาเปรียบเทียบกับตัวควบคุมแบบ FXLMS โดยใช้วิธี Off-Line Secondary Path

## 2. ชุดควบคุมเสียงรบกวน

ในการทดสอบผลการทำงาน ผู้วิจัยได้ใช้ชุดทดลองที่ออกแบบและสร้างโดย สว่างทิพย์ ศรีกิจสุวรรณ และ สุวัฒน์ กุลชนปริศา [4-5] ซึ่งประกอบด้วยชุดท่อป้อนขนาดเส้นผ่านศูนย์กลาง 20 ซม. มีความยาวประมาณ 5 เมตร ลำโพงหนึ่งคู่พร้อมอุปกรณ์ขยายกำลัง ไมโครโฟนพร้อมอุปกรณ์ขยายสัญญาณสองชุด และคอมพิวเตอร์พร้อม DSP (Digital Signal Processor) ทำหน้าที่ในการคำนวณและประมวลผล รูปที่ 1 แสดงภาพถ่ายชุดทดลองจริงของระบบ รูปที่ 2 แสดงแผนภาพชุดทดลองของระบบ รูปที่ 3 แสดงผลตอบสนองเชิงความถี่ของชุดทดลองที่ได้มาจากการทดสอบจริงในย่านความถี่ 50-500 Hz ค่าสัญญาณ input และ output ของผลตอบสนองที่ได้มาจากไมโครโฟนวัดเสียงรบกวน  $x(n)$  และไมโครโฟนวัดเสียง  $d(n)$  ตามลำดับ แกนตั้งของกราฟเป็นตัวแทนของอัตราขยายซึ่งคำนวณได้จาก  $20 \log \frac{x(n)}{d(n)}$

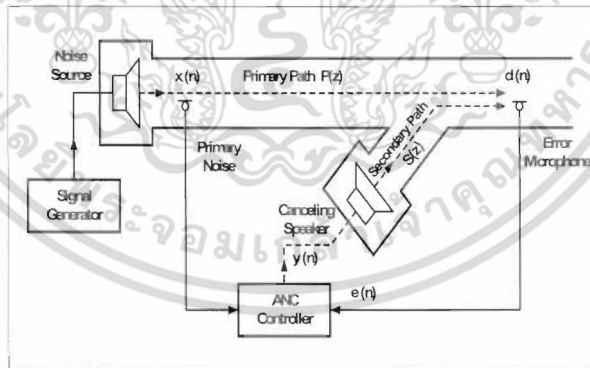


รูปที่ 1 ภาพถ่ายชุดทดลองจริงของระบบ

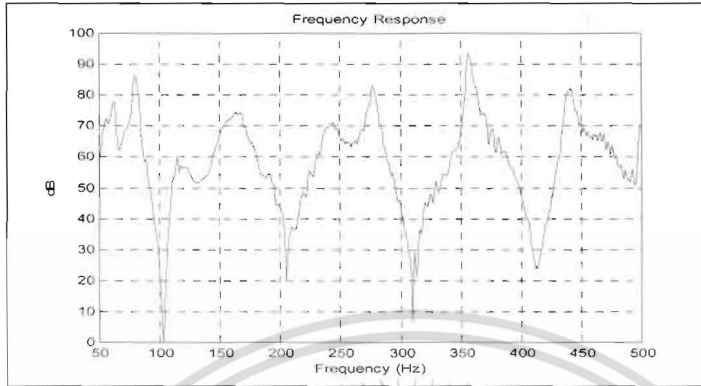
สังเกตว่าค่าความถี่ที่มีค่าอัตราขยายเป็นยอดสัญญาณ (peak) ขึ้นมาคือตำแหน่ง poles ของระบบ ซึ่งการควบคุมเสียงที่มีความถี่ตรง poles ของระบบจะไม่สามารถกระทำได้ ในงานวิจัยนี้ช่วงความถี่ของการทำงานถูกกำหนดด้วย frequency response ของลำโพงซึ่งมีย่านความถี่ทำงาน 20 ~ 400 Hz

### 3. การควบคุมแบบ Active

การควบคุมแบบ Active มีหลักการการทำงานพอสรุปโดยย่อดังนี้ จากรูปที่ 2 แหล่งกำเนิดเสียงรบกวน (ในที่นี้เป็นลำโพง) ซ้ายมือจะทำหน้าที่สร้างคลื่นสัญญาณเสียงรบกวนให้กับระบบ

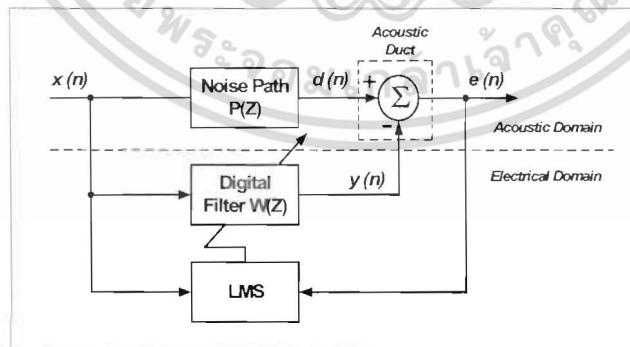


รูปที่ 2 แผนภาพชุดทดลองของระบบ



รูปที่ 3 ผลตอบสนองเชิงความถี่ของชุดทดลอง

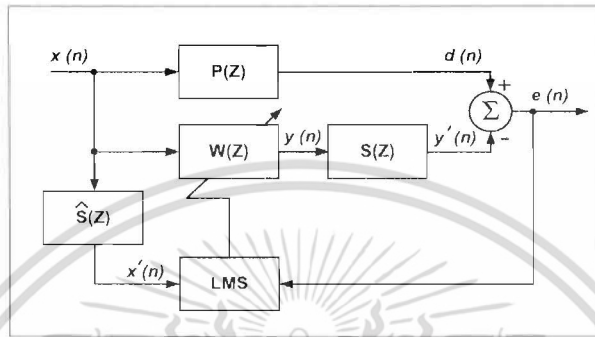
ในขณะที่ลำโพงตัวด้านล่างทำหน้าที่สร้างสัญญาณเสียงควบคุม  $y(n)$  เพื่อให้หักลบกับคลื่นเสียงรบกวน ค่าของคลื่นเสียงควบคุมนี้จะถูกกำหนดตามกฎการควบคุม ซึ่งคำนวณด้วยตัวประมวลผล DSP โดยใช้ข้อมูลจากสัญญาณเสียงรบกวนอ้างอิง  $x(n)$  ก่อนการลดระดับเสียงที่วัดมาจากไมโครโฟนตัวซ้ายมือ และสัญญาณเสียงรบกวน  $e(n)$  หลังจากการหักลบเสียง ณ ตำแหน่งที่ต้องการจะลดระดับเสียง ซึ่งวัดโดยไมโครโฟนตัวขวามือ หลักการทำงานนี้เรียกว่าการควบคุมแบบ feedforward แผนผังการทำงานนี้สรุปไว้ในรูปที่ 4 สัญญาณ  $d(n)$  ในรูป คือสัญญาณเสียงรบกวน ณ ตำแหน่งที่ต้องการจะควบคุม ซึ่งคือ  $x(n)$  ที่ถูกเปลี่ยนแปลงไปในขณะเคลื่อนที่ผ่านเส้นทางเดินของเสียงซึ่งแทนด้วยฟังก์ชันถ่ายโอน  $P(z)$



รูปที่ 4 แผนผังการควบคุม

#### 4. กฎการปรับค่าแบบ FXLMS

การควบคุมการลดระดับเสียงแบบป้อนไปข้างหน้า ใช้ตัวควบคุมแบบ FXLMS แสดงได้ดังรูปที่ 5 โดยได้มีการใช้  $\hat{S}(z)$  เพื่อทำการชดเชยผลที่เกิดจาก Secondary Path



รูปที่ 5 แผนผังการทำงานของ Feedforward FXLMS

โครงสร้างของตัวควบคุมที่ใช้ในงานวิจัยนี้เป็นแบบฟังก์ชัน FIR ซึ่งเขียนเป็นสมการคณิตศาสตร์ได้ดังนี้

$$y(n) = \sum_{l=0}^{L-1} w_l(n)x(n-l) \quad (1)$$

โดยที่  $n$  คือ ดัชนีเวลา  $L$  คือ ค่าลำดับ (Order)  $w_l(n)$  คือ พารามิเตอร์ตัวที่  $l$  ของฟังก์ชันค่าพารามิเตอร์ของการกรองสัญญาณ ส่วน  $x(n)$  และ  $y(n)$  คือ สัญญาณที่ทางเข้าและสัญญาณที่ทางออกของฟังก์ชันตามลำดับ

กฎการปรับค่าแบบ FXLMS คัดแปลงมาจากกฎการปรับค่า LMS โดยมีการชดเชยผลของ Secondary Path และคณิตศาสตร์ของการปรับค่ามาจากการ Minimize  $\zeta(n) = E[e^2(n)]$  ด้วยวิธี Steepest-descent Method ทำให้ได้กฎการปรับค่าแบบ FXLMS เป็นดังนี้

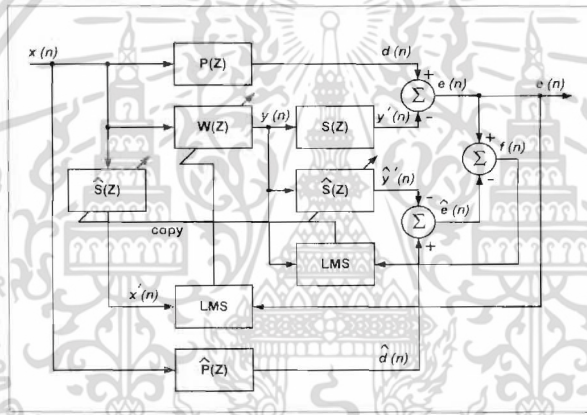
$$\mathbf{w}(n+1) = \mathbf{w}(n) + \mu \mathbf{x}'(n)e(n) \quad (2)$$

อย่างไรก็ตามในทางปฏิบัติ  $S(z)$  เป็นส่วนที่ไม่ทราบค่าจริง ดังนั้นจึงต้องทำการประมาณหาด้วยการทำแบบจำลองของฟังก์ชันถ่ายโอนส่วนทุติยภูมิ (Secondary-Path Modeling) ซึ่งได้

$$\mathbf{x}'(n) = \hat{S}(n) * \mathbf{x}(n) \quad (3)$$

โดยที่  $\hat{S}(n)$  คือฟังก์ชันประมาณของ  $s(n)$  ที่ได้จากการแบบจำลองของฟังก์ชันถ่ายโอนส่วนทุติยภูมิ

จากที่ผ่านมา ส่วนของ Secondary Path  $S(z)$  นั้นต้องการประมาณด้วย  $\hat{S}(z)$  เพื่อทำการลดระดับเสียง โดยที่  $\hat{S}(z)$  ที่ทำการประมาณนั้นมีความคงที่ แต่ในงานบางชนิดส่วนของ Secondary Path มีการเปลี่ยนแปลงอย่างต่อเนื่องตลอดเวลา เพื่อให้การควบคุมมีประสิทธิภาพจึงต้องการประมาณส่วนของ Secondary Path อย่างต่อเนื่อง (On-Line Secondary Path) โดยมีลักษณะดังรูปที่ 6



รูปที่ 6 แผนผังการทำงานของ Feedforward FXLMS แบบ On-Line Secondary Path

จากรูปที่ 6 ส่วนของ  $W(z)$  ยังคงใช้สัญญาณ  $e(n)$  มาทำการปรับค่าพารามิเตอร์ตามหลักการของ LMS เช่นเดิม ขณะที่ส่วนของ Secondary Path  $\hat{S}(z)$  จะทำการปรับค่าพารามิเตอร์อย่างต่อเนื่องขณะที่ทำการควบคุม โดยใช้สัญญาณ  $f(n)$  มาทำการปรับค่าพารามิเตอร์ของ  $\hat{S}(z)$  ตามหลักการของ LMS เช่นเดียวกัน และคณิตศาสตร์ของการปรับตัวหามาจากการ Minimize  $\xi(n) = E[f^2(n)]$  ด้วยวิธี Steepest-descent Method ทำให้ได้ค่าพารามิเตอร์ของตัวควบคุมซึ่งแทนด้วยฟังก์ชันถ่ายโอน  $W(z)$  ใช้หลักการของ FXLMS algorithm เป็นดังนี้

$$\mathbf{w}(n+1) = \mathbf{w}(n) + \mu_c \mathbf{x}'(n) e(n) \quad (4)$$

ส่วนของการปรับค่าพารามิเตอร์ของส่วนของ Secondary Path ซึ่งแทนด้วยฟังก์ชันถ่ายโอน  $\hat{S}(z)$  ใช้หลักการของ LMS ได้ดังนี้

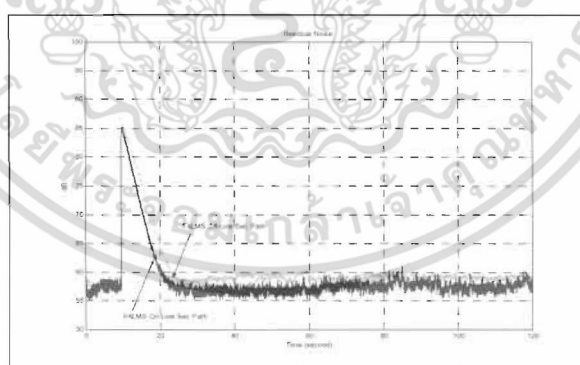
$$\hat{s}(n+1) = \hat{s}(n) + \mu_s y(n) f(n) \quad (5)$$

โดยที่  $\mu_c$  คือ อัตราการปรับตัว (Step Size) เพื่อปรับพารามิเตอร์ของฟังก์ชันถ่ายโอน  $W(z)$  และ  $\mu_s$  คือ อัตราการปรับตัว (Step Size) เพื่อปรับพารามิเตอร์ของฟังก์ชันถ่ายโอน  $\hat{S}(z)$

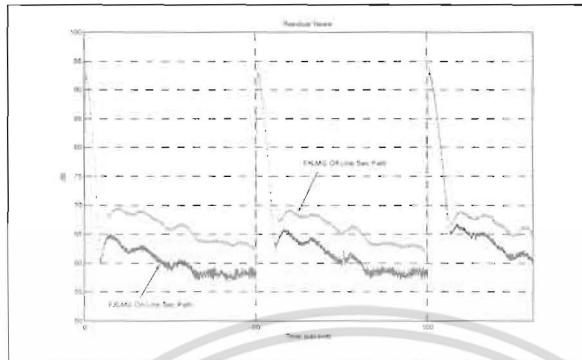
## 5. การควบคุม

ในงานวิจัยนี้เงื่อนไขของการวัดสัญญาณเพื่อการประมวลผลและควบคุมมีค่าความถูกต้องของการแปลง AD/DA และอัตราการสุ่ม (Sampling rate) เท่ากับ 16 bits และ 5512 Hz ตามลำดับ

รูปที่ 7 เปรียบเทียบความสามารถในการลดระดับเสียงรบกวนของการควบคุมโดยวิธี FXLMS แบบ Off-Line และ On-Line Secondary Path เมื่อส่วนของ Secondary Path มีการเปลี่ยนแปลงโดยนำตัวต้านทานมาต่ออนุกรมกับสายสัญญาณที่ส่งออกจากการ์ด DSP ที่เวลาประมาณ 10 วินาที โดยป้อนค่าสัญญาณ Input เป็นฟังก์ชัน Sine มีแอมพลิจูด (Amplitude) ขนาด 0.3 Volt ที่ค่าความถี่ 300 Hz จากรูปจะเห็นว่า การควบคุมแบบ On-Line Secondary Path สามารถลดระดับเสียงรบกวนได้เร็วกว่าและมากกว่า Off-Line Secondary Path



รูปที่ 7 เปรียบเทียบผลระหว่าง FXLMS แบบ Off-Line On-Line Secondary Path



รูปที่ 8 เปรียบเทียบผลระหว่าง FXLMS แบบ Off-Line และ On-Line Secondary Path เมื่อเสียงรบกวนเป็นสัญญาณกวาด (Sweep)

รูปที่ 8 เปรียบเทียบความสามารถในการลดระดับเสียงรบกวนของการควบคุมโดยวิธี FXLMS แบบ Off-Line และ On-Line Secondary Path เมื่อสัญญาณเสียงรบกวนมีการเปลี่ยนแปลงความถี่โดยป้อนค่าสัญญาณ Input เป็นฟังก์ชัน Sine มีแอมพลิจูด (Amplitude) ขนาด 0.3 Volt ที่ค่าความถี่เปลี่ยนแปลงแบบกลับไปกลับมาระหว่าง 285 - 300 Hz โดยมีค่าคาบเวลาของการเปลี่ยนแปลงเท่ากับ 50 วินาที จะเห็นว่าการควบคุมโดยวิธี FXLMS แบบการหาเอกลักษณ์ส่วนของ Secondary Path แบบ On-Line นั้นสามารถลดระดับเสียงรบกวนได้ดีกว่าและเร็วกว่าโดยสามารถลดระดับเสียงรบกวนได้ประมาณ 37 เดซิเบล

## 6. สรุป

จากผลการทดลองจะเห็นว่า การควบคุมแบบ FXLMS แบบ On-Line Secondary Path สามารถลดระดับเสียงรบกวนได้ดีกว่าและเร็วกว่าการควบคุม โดยวิธี FXLMS แบบ Off-Line Secondary Path ทั้งในกรณีเมื่อให้ส่วนของ Secondary Path มีการเปลี่ยนแปลงและให้สัญญาณเสียงรบกวนมีการเปลี่ยนแปลงความถี่ โดยรูปแบบการควบคุมที่ใช้ทดลองสามารถลดระดับเสียงรบกวนได้ดีในช่วงความถี่ 100-400 Hz และต้องไม่ตรงกับความถี่ธรรมชาติของระบบ ส่วนที่ความถี่ต่ำกว่า 100 Hz นั้น ไม่สามารถควบคุมได้เนื่องจากสัญญาณเสียงเริ่มมีสมบัติไม่เชิงเส้นอันเนื่องมาจากอุปกรณ์ของชุดควบคุม

## กิตติกรรมประกาศ

งานวิจัยนี้ได้รับการสนับสนุนจาก คณะวิศวกรรมศาสตร์ มหาวิทยาลัยเทคโนโลยีพระจอมเกล้าพระนครเหนือ และขอขอบคุณนายธนกร เพชรสินจร ผู้จัดเตรียมต้นฉบับในการตีพิมพ์ครั้งนี้

## เอกสารอ้างอิง

- [1] B.J. Smith, R.J. Peters and S. Owen. Acoustics and Noise Control. 2nd ed. Addison-Wesley Longman, 1982.
- [2] L.L. Beranek and I.L. Ver. Noise and Vibration Control Engineering : Principles and Applications. John Wiley and Sons, 1992.
- [3] S.M. Kuo and D.R. Morgan. Active Noise Control Systems Algorithms and DSP Implementations. John Wiley and Sons, 1996.
- [4] สว่างทิตย์ ศรีกิจสุวรรณ, สุวัฒน์ กุลธนปรีดา. “การควบคุมระดับเสียงรบกวนมิติเดียวแบบแอดคทีฟ : การศึกษาเชิงทดลอง.” การประชุมวิชาการเครือข่ายวิศวกรรมเครื่องกลแห่งประเทศไทย. ครั้งที่ 14 (พฤศจิกายน 2543) : 20-21.
- [5] สว่างทิตย์ ศรีกิจสุวรรณ. “การควบคุมเสียงรบกวนแบบแอดคทีฟภายในห้องปิดขนาดเล็กจากแหล่งกำเนิดเสียงเชิงกลภายนอก.” วิทยานิพนธ์ปริญญาวิศวกรรมศาสตรมหาบัณฑิต สาขาวิศวกรรมเครื่องกล ภาควิชาวิศวกรรมเครื่องกล บัณฑิตวิทยาลัย สถาบันเทคโนโลยีพระจอมเกล้าพระนครเหนือ, 2544.